

# DIAGRAMAS DE RESPUESTA EN FRECUENCIA

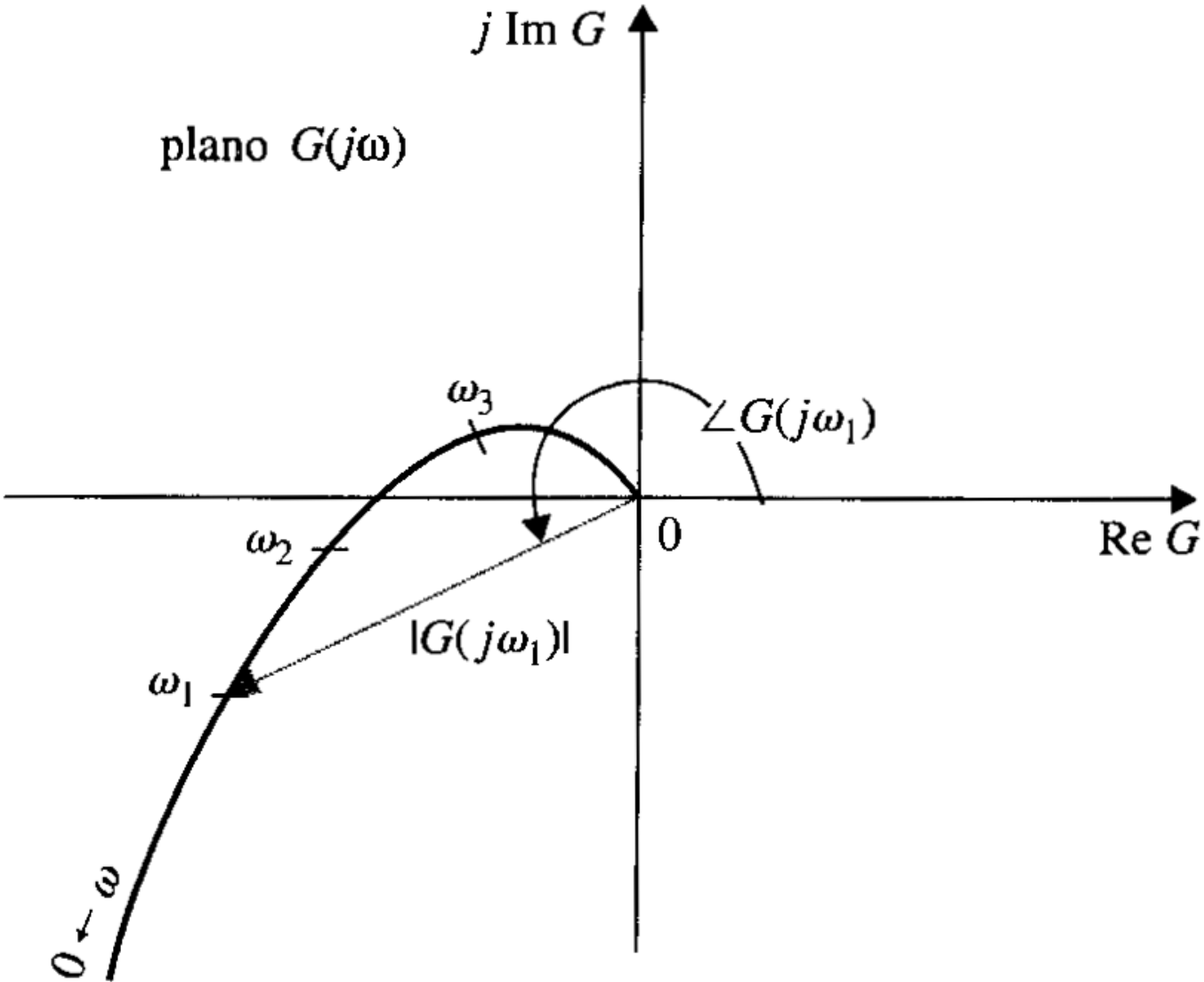
- \*Diagramas polares

- \*Diagramas semi-log y log-log

- \*Aproximación asintótica de Bode.

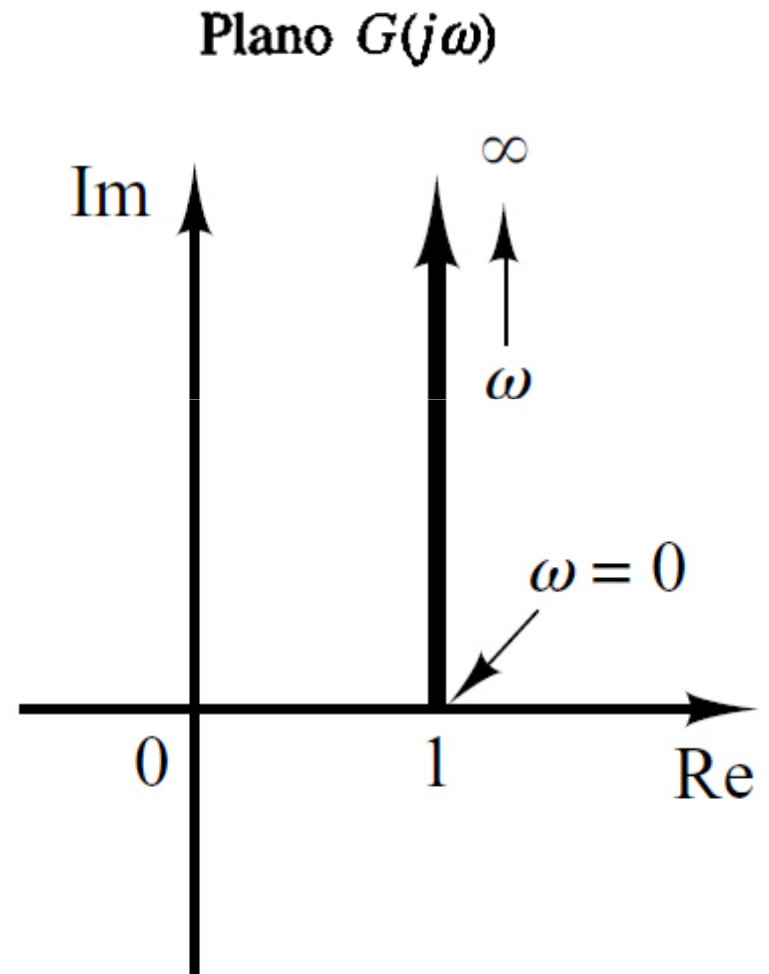
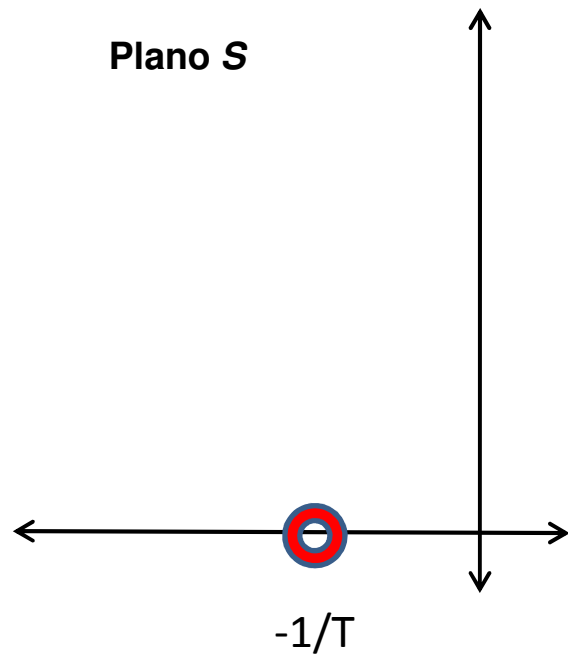
(Bibliografía: Kuo, Ogata)

Diagrama **polar** de respuesta en frecuencia



$$G(s) = 1 + Ts$$

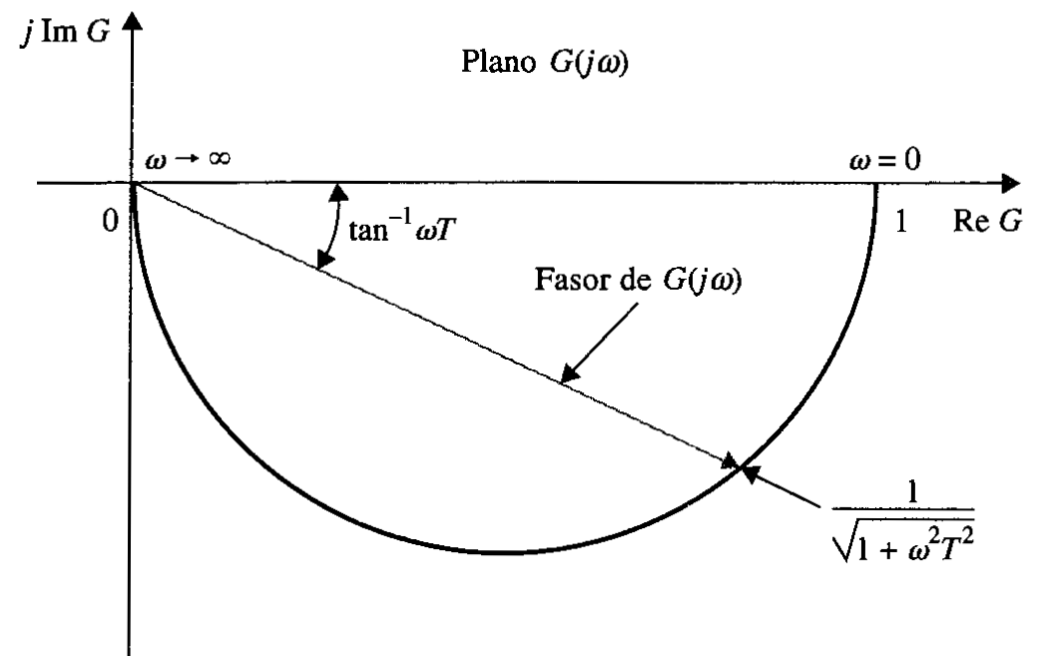
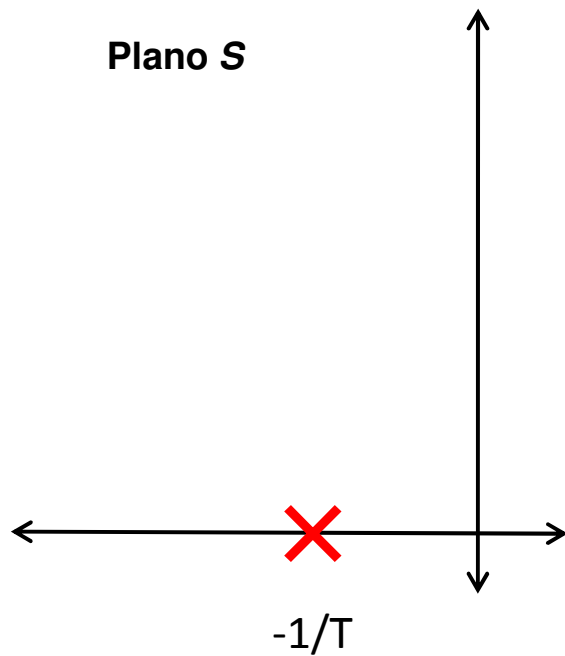
$$G(j\omega) = 1 + j\omega T$$



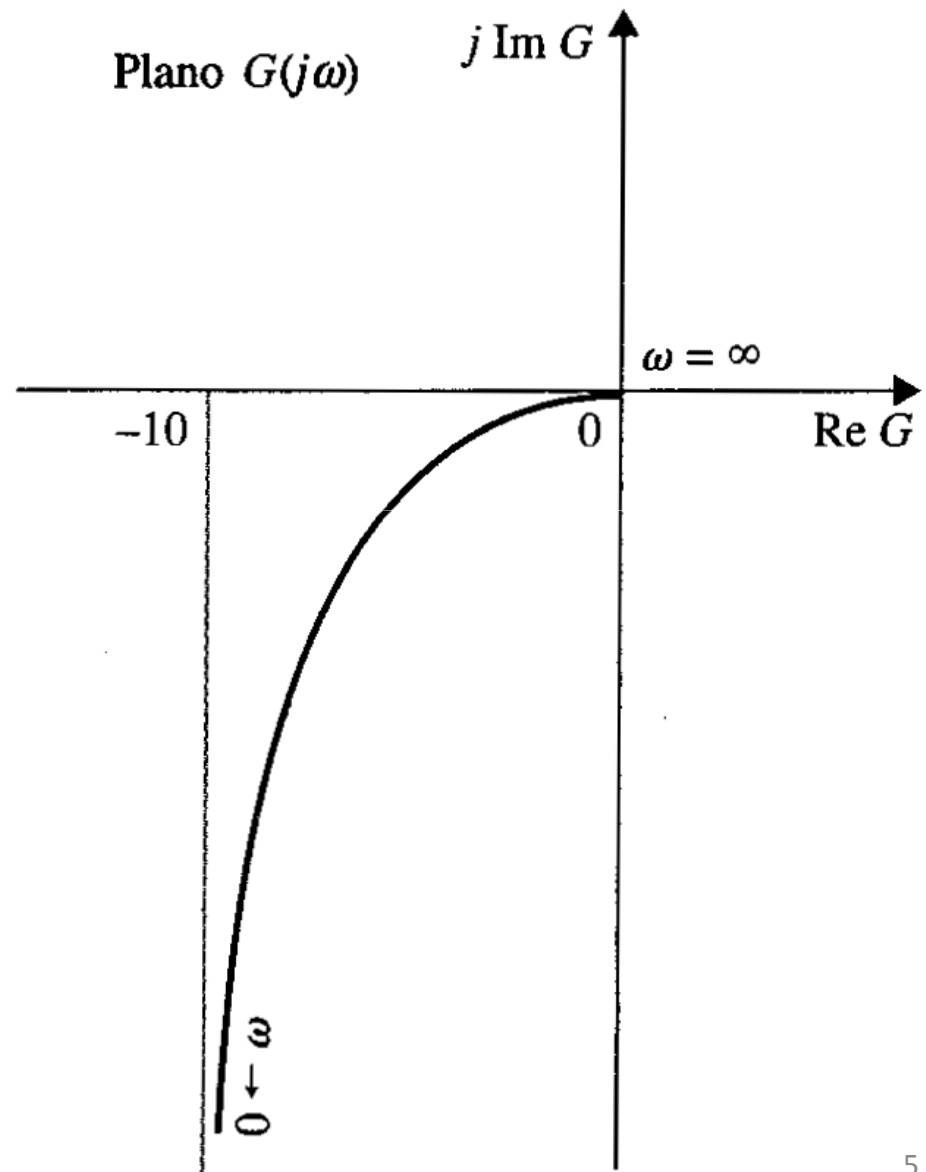
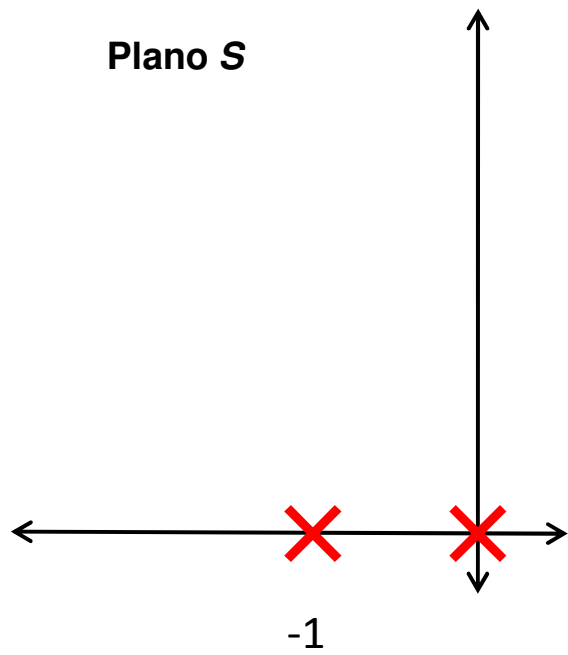
$$G(s) = \frac{1}{1 + Ts}$$

$$G(j\omega) = \frac{1}{1 + j\omega T}$$

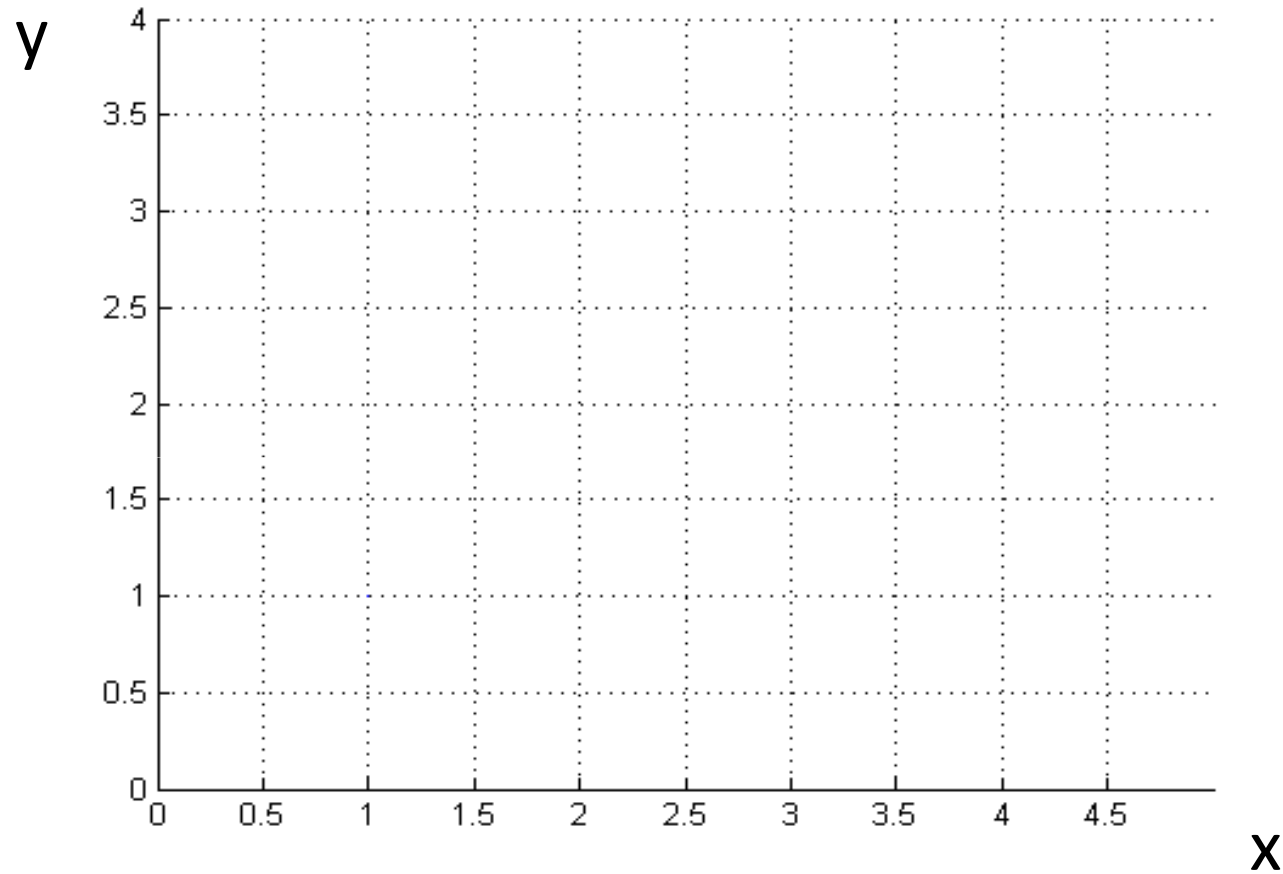
$$G(j\omega) = \frac{1}{\sqrt{1 + \omega^2 T^2}} \angle -\tan^{-1} \omega T$$



$$G(s) = \frac{10}{s(s+1)}$$

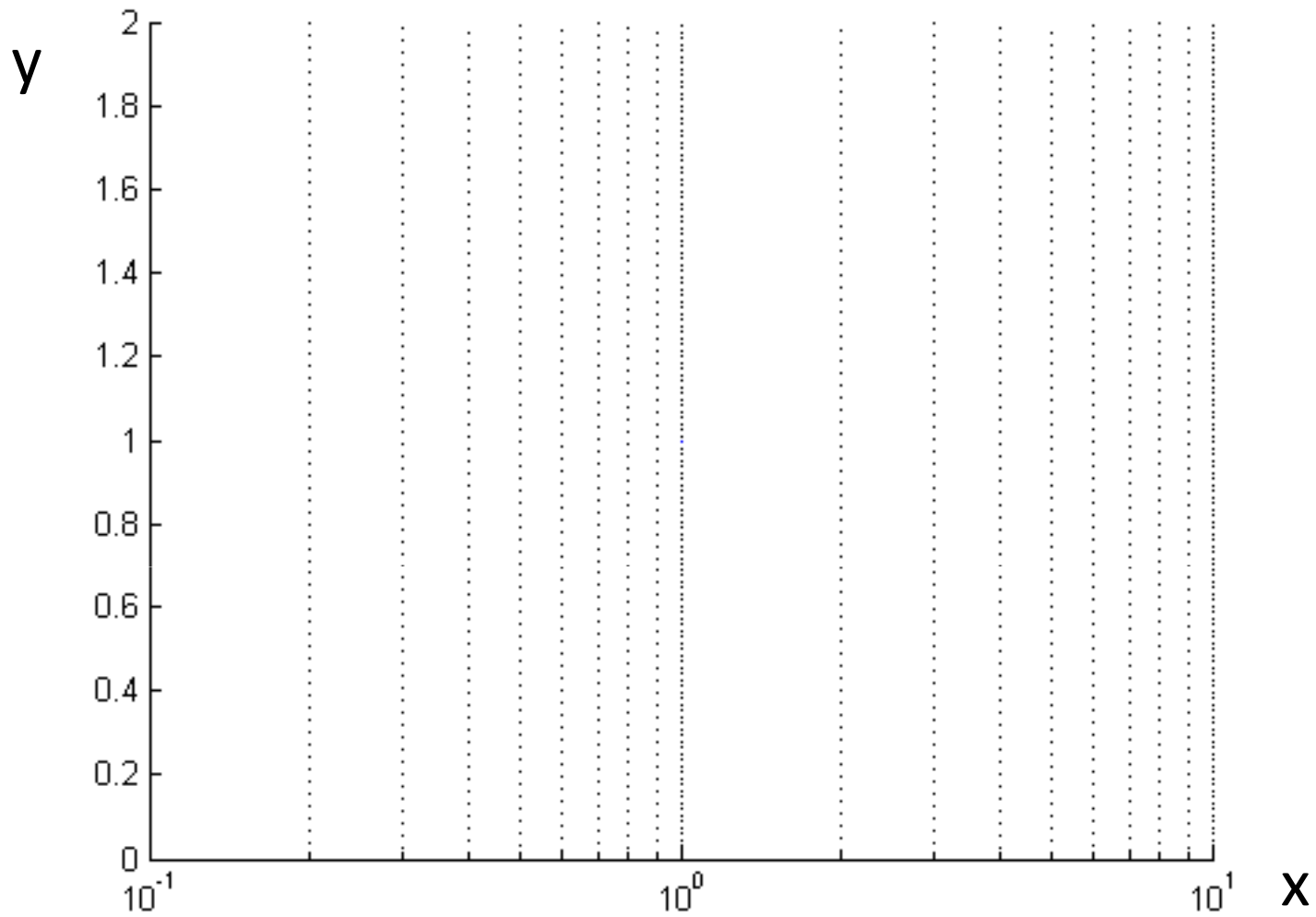


En el caso de los ejes coordenados...



La escala del eje horizontal es lineal... por que

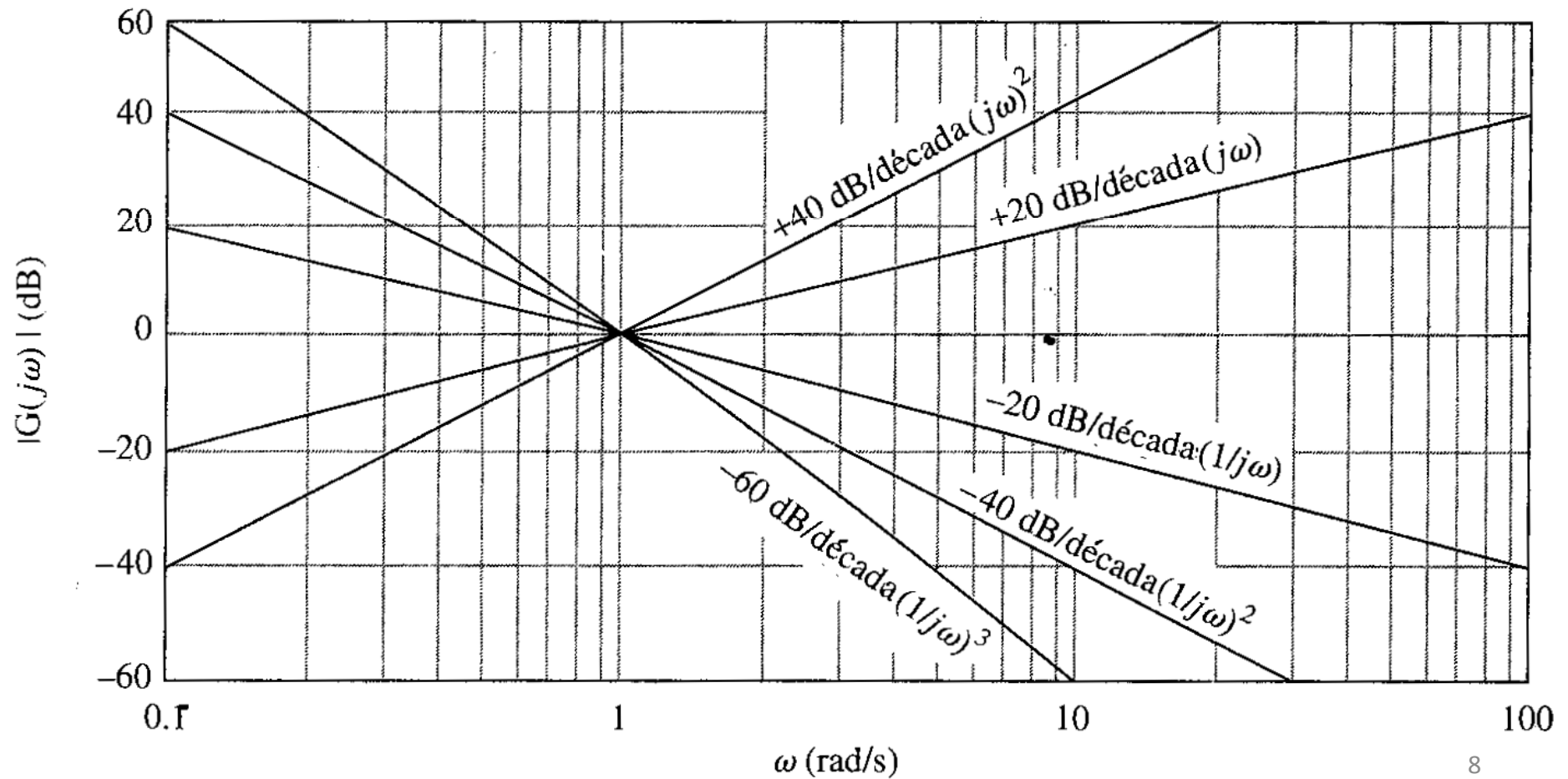
una longitud horizontal dada representa un salto fijo de la variable X.



La escala horizontal es logarítmica por que  
una longitud horizontal dada representa un salto en logaritmos de la variable X.

# Polos y ceros en el origen, $(j\omega)^{\pm p}$

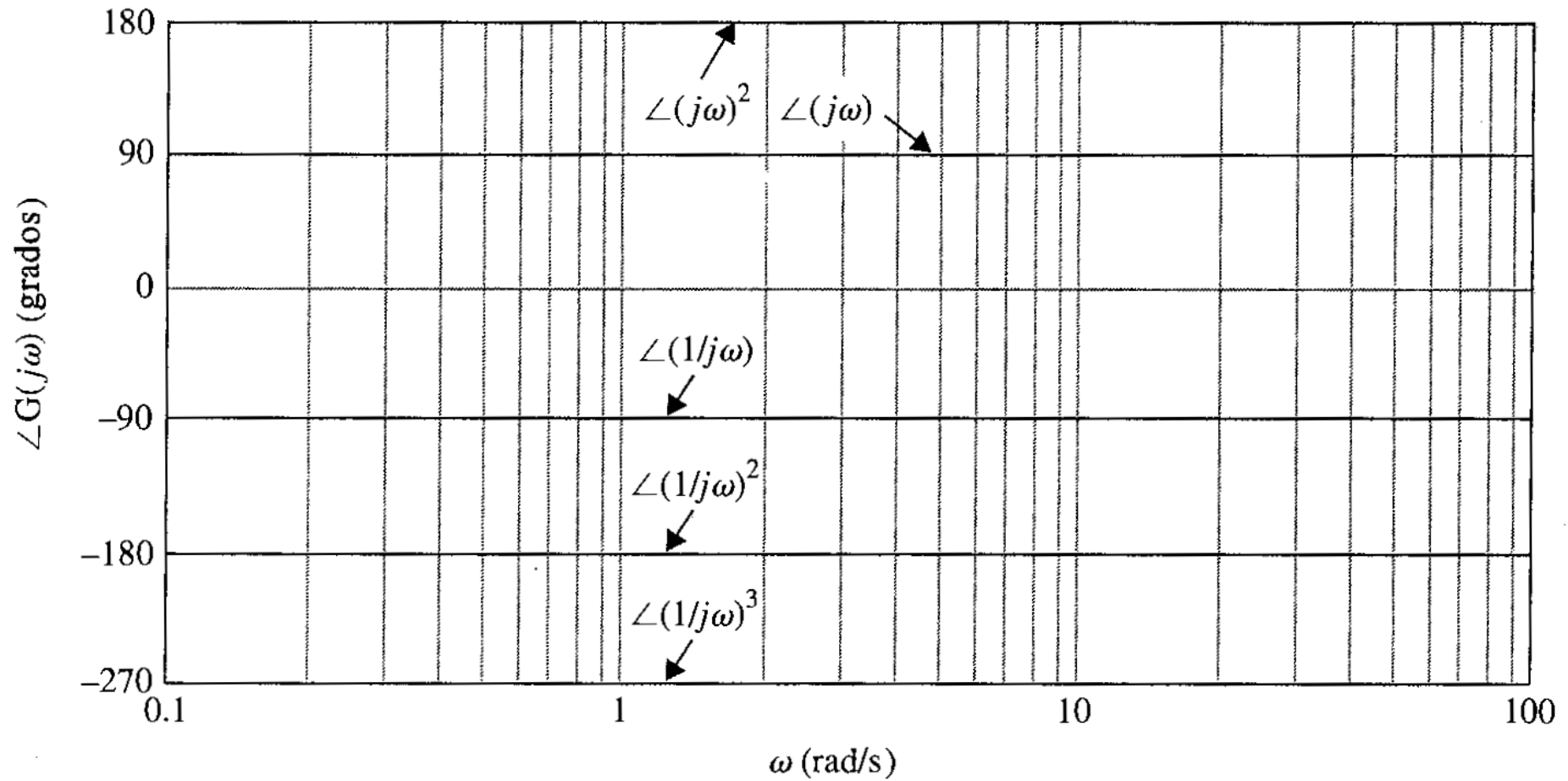
$$20 \log_{10} |(j\omega)^{\pm p}| = \pm 20p \log_{10} \omega \quad \text{dB}$$





# Polos y ceros en el origen, $(j\omega)^{\pm p}$

$$\angle(j\omega)^{\pm p} = \pm p \times 90^\circ$$



**Cero simple,  $G(s) = 1 + Ts$**

$$G(j\omega) = 1 + j\omega T$$

$$\omega T \ll 1: \quad |G(j\omega)|_{\text{dB}} \cong 20 \log_{10} 1 = 0 \text{ dB}$$

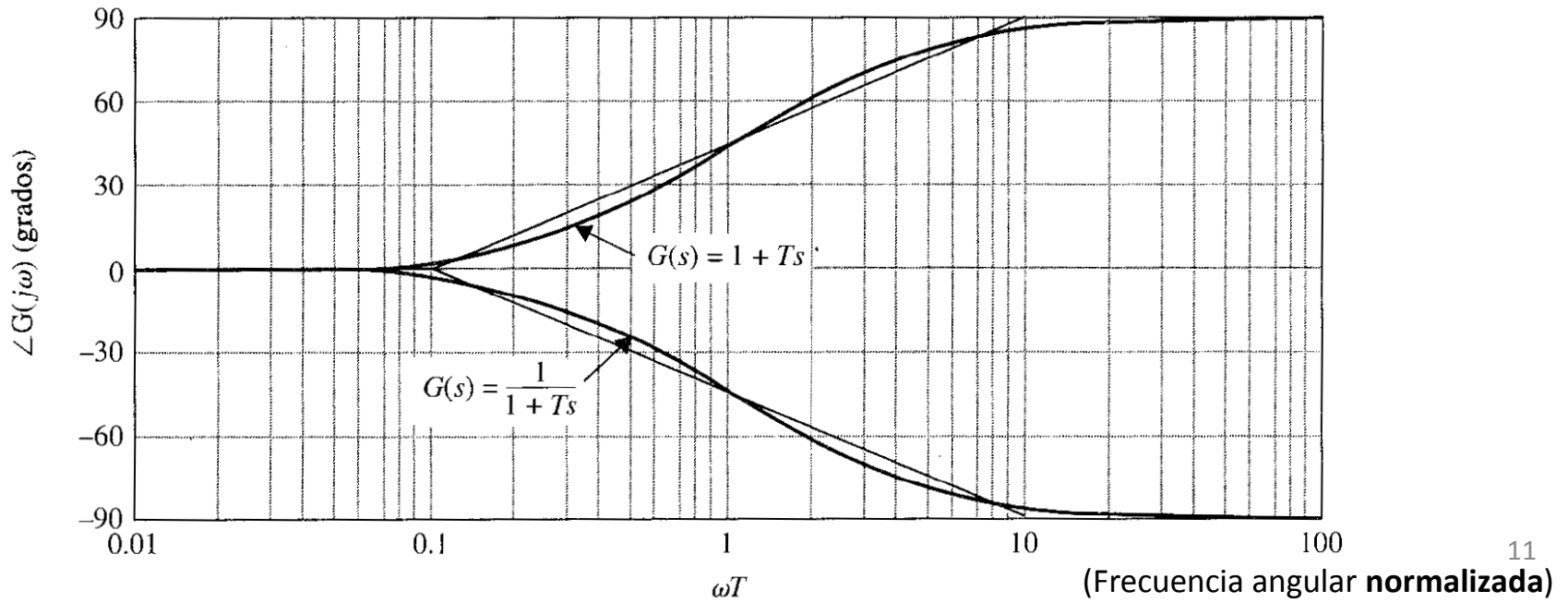
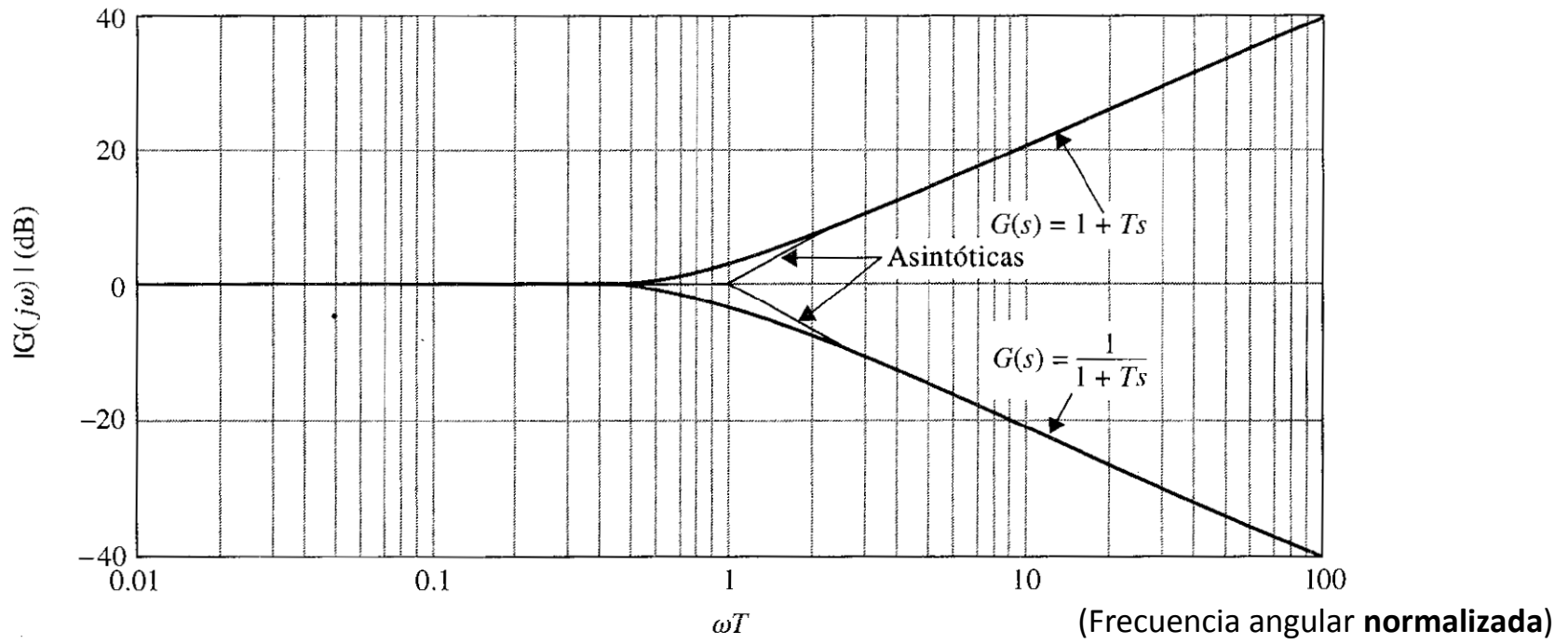
$$\omega T \gg 1: \quad |G(j\omega)|_{\text{dB}} \cong 20 \log_{10} \sqrt{\omega^2 T^2} = 20 \log_{10} \omega T$$

**Polo simple,  $1 / (1 + j\omega T)$**

$$G(j\omega) = \frac{1}{1 + j\omega T}$$

$$\omega T \ll 1: \quad |G(j\omega)|_{\text{dB}} \cong 0 \text{ dB}$$

$$\omega T \gg 1: \quad |G(j\omega)|_{\text{dB}} \cong -20 \log_{10} \omega T$$



# Polos cuadráticos

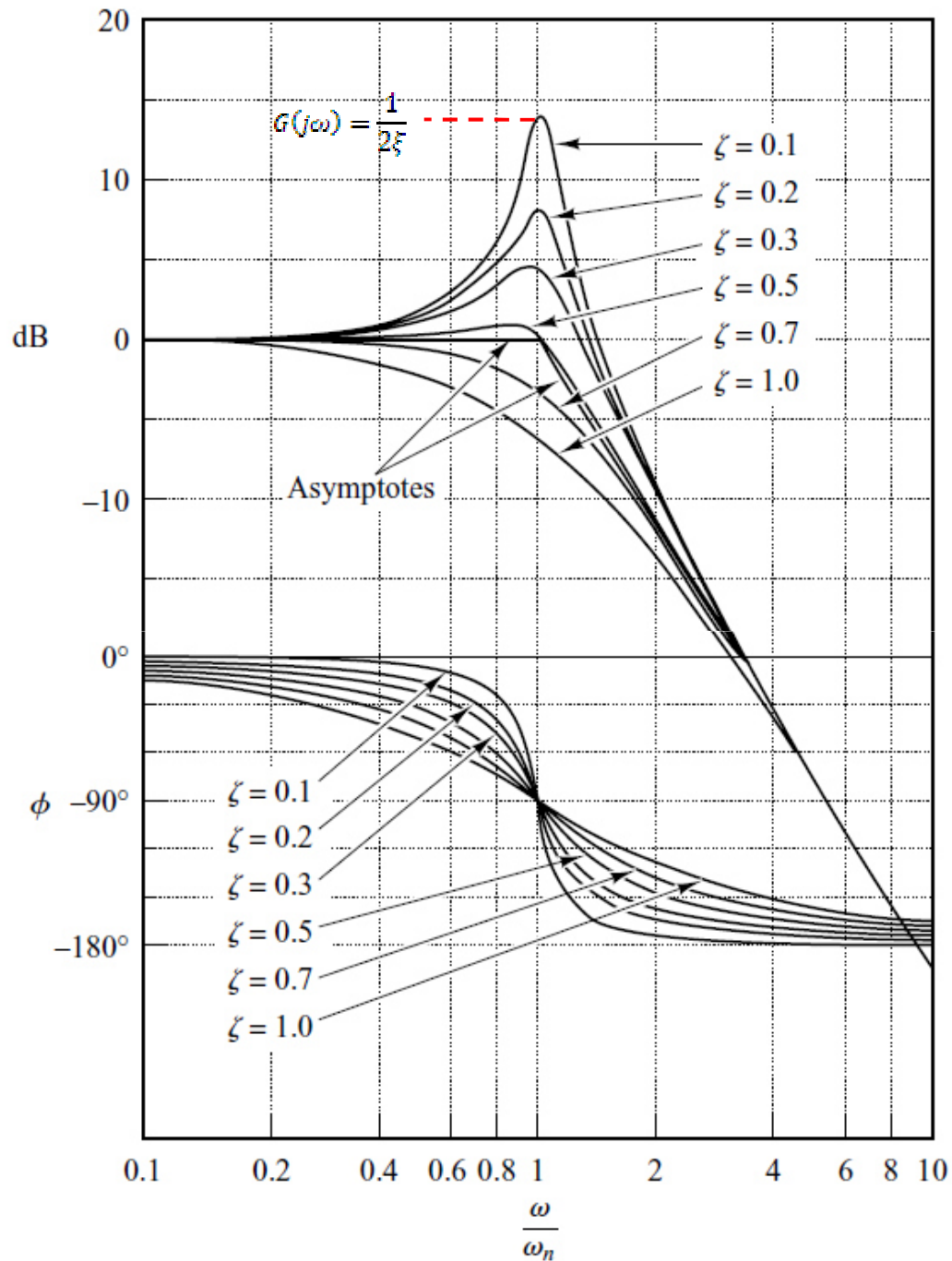
$$G(j\omega) = \frac{1}{[1 - (\omega/\omega_n)^2] + j2\zeta(\omega/\omega_n)}$$

$$20 \log_{10}|G(j\omega)| = -20 \log_{10} \sqrt{[1 - (\omega/\omega_n)^2]^2 + 4\zeta^2(\omega/\omega_n)^2}$$

$$20 \log \left| \frac{1}{1 + 2\zeta \left( j \frac{\omega}{\omega_n} \right) + \left( j \frac{\omega}{\omega_n} \right)^2} \right| = -20 \log \sqrt{\left( 1 - \frac{\omega^2}{\omega_n^2} \right)^2 + \left( 2\zeta \frac{\omega}{\omega_n} \right)^2}$$

$$\omega \ll \omega_n \quad -20 \log 1 = 0 \text{ dB}$$

$$\omega \gg \omega_n \quad -20 \log \frac{\omega^2}{\omega_n^2} = -40 \log \frac{\omega}{\omega_n} \text{ dB}$$



$$\omega_r = \omega_n \sqrt{1 - 2\xi^2}, \quad \text{for } 0 \leq \xi \leq 0.707$$

$$\omega_r < \omega_d < \omega_n$$

Asíntota en baja frecuencia

$$\omega \ll \omega_n$$

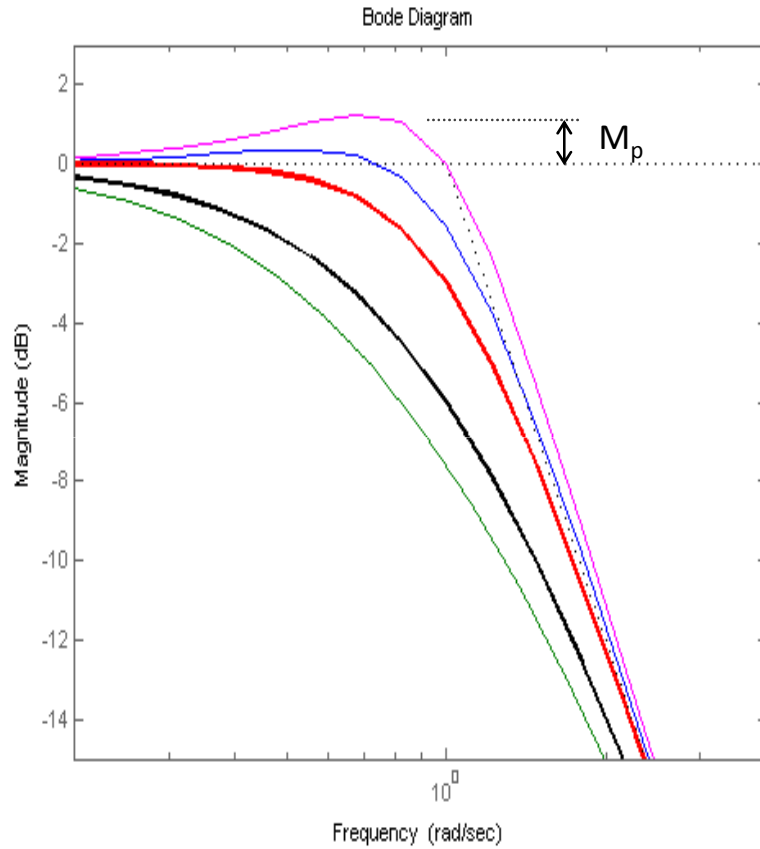
$$-20 \log 1 = 0 \text{ dB}$$

Asíntota en alta frecuencia

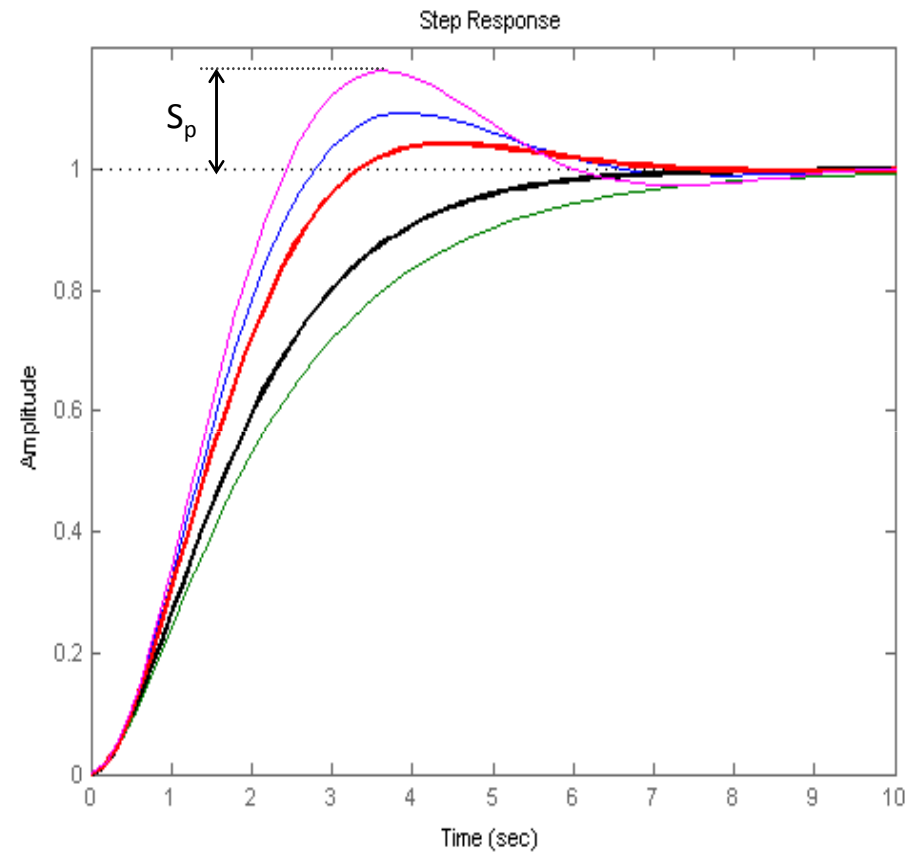
$$\omega \gg \omega_n$$

$$-20 \log \frac{\omega^2}{\omega_n^2} = -40 \log \frac{\omega}{\omega_n} \text{ dB}$$

$\xi$ :      0.5   0.6   0.707   1   1.2



Para  $\xi \leq 0.707$  aparece sobrepico ( $M_p$ ) en la amplitud de la respuesta en frecuencia



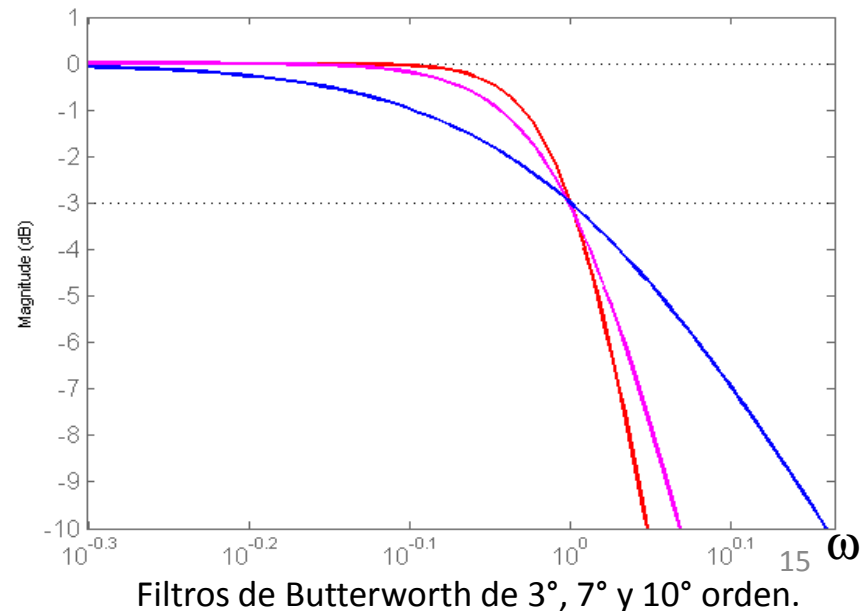
Para  $\xi \leq 1$  aparece sobrepico ( $S_p$ ) en la respuesta al escalón.

# RELACIONES TIEMPO-FRECUENCIA

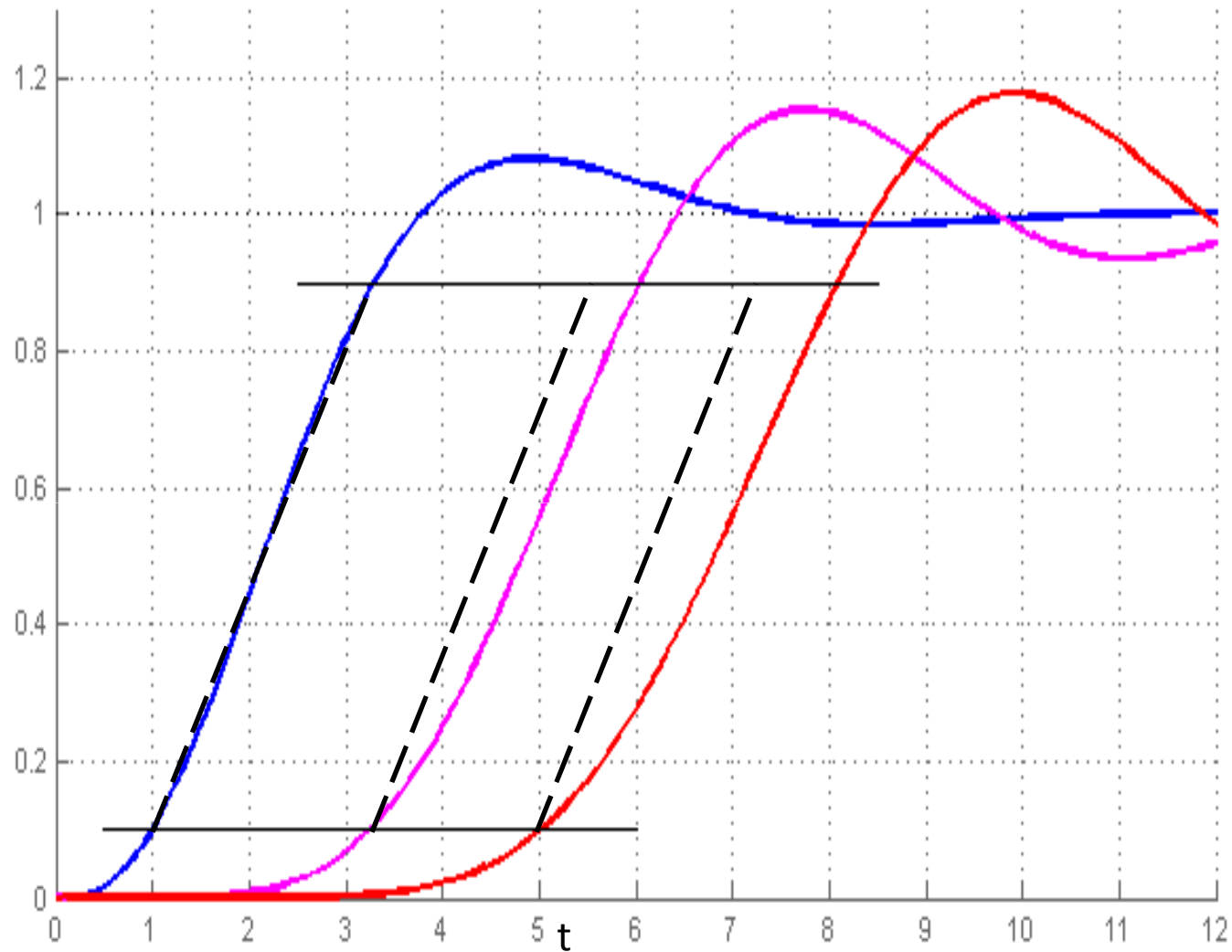
- \* TVF      Al buscar  $\lim_{S \rightarrow 0} H(S)$       básicamente se estará encontrando la “respuesta” en “continua”.
- \* TVI      Al buscar  $\lim_{S \rightarrow \infty} H(S)$       Se tendrá una idea de que tan fielmente el sistema responde a cambios abruptos en la señal de entrada.
- \* Ancho de banda y velocidad de respuesta

“En sistemas pasa-bajos, el ancho de banda está estrechamente ligado a la rapidez de la respuesta”

$$T_r \cong \frac{0.35}{f_{AB}} = \frac{2.2}{\omega_{AB}}$$



## Respuesta al escalón de filtros normalizados de Butterworth de 3°, 7° y 10° orden



“En general cada vez que se agrega un polo nuevo a un sistema, el retardo en la respuesta temporal resulta incrementada, así como la velocidad de subida”